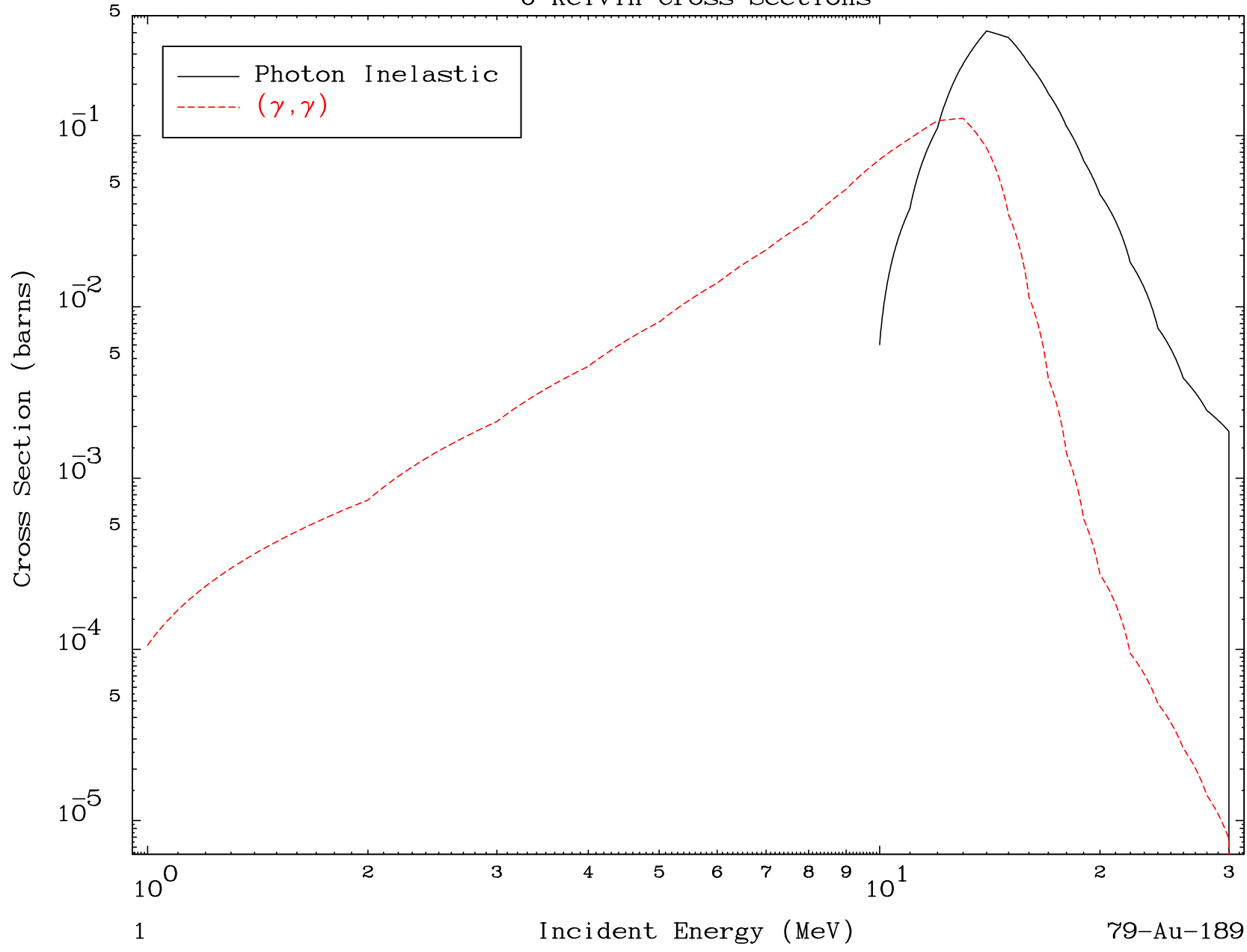


MAT 7902

Photon Major
0 Kelvin Cross Sections

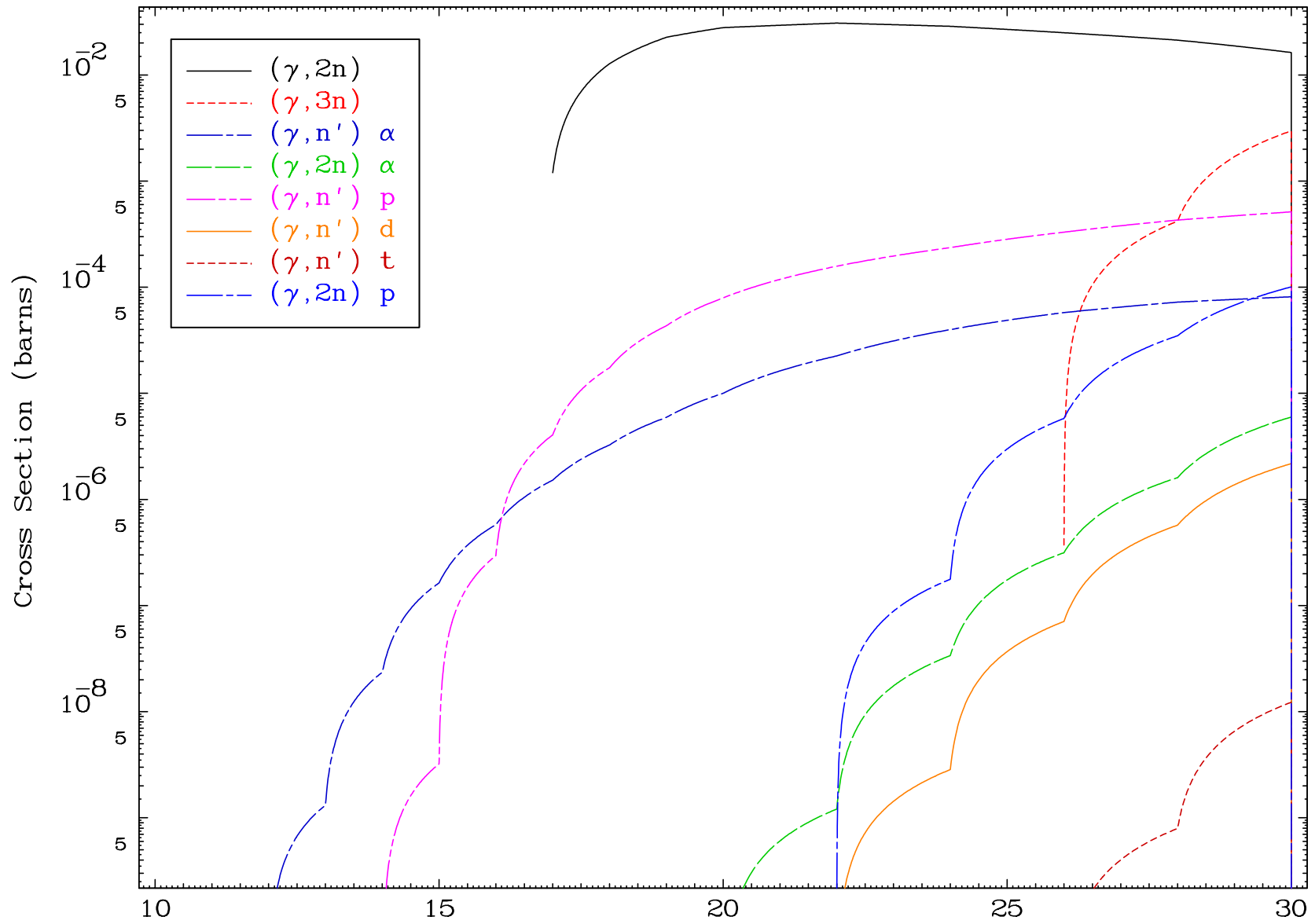
79-Au-189

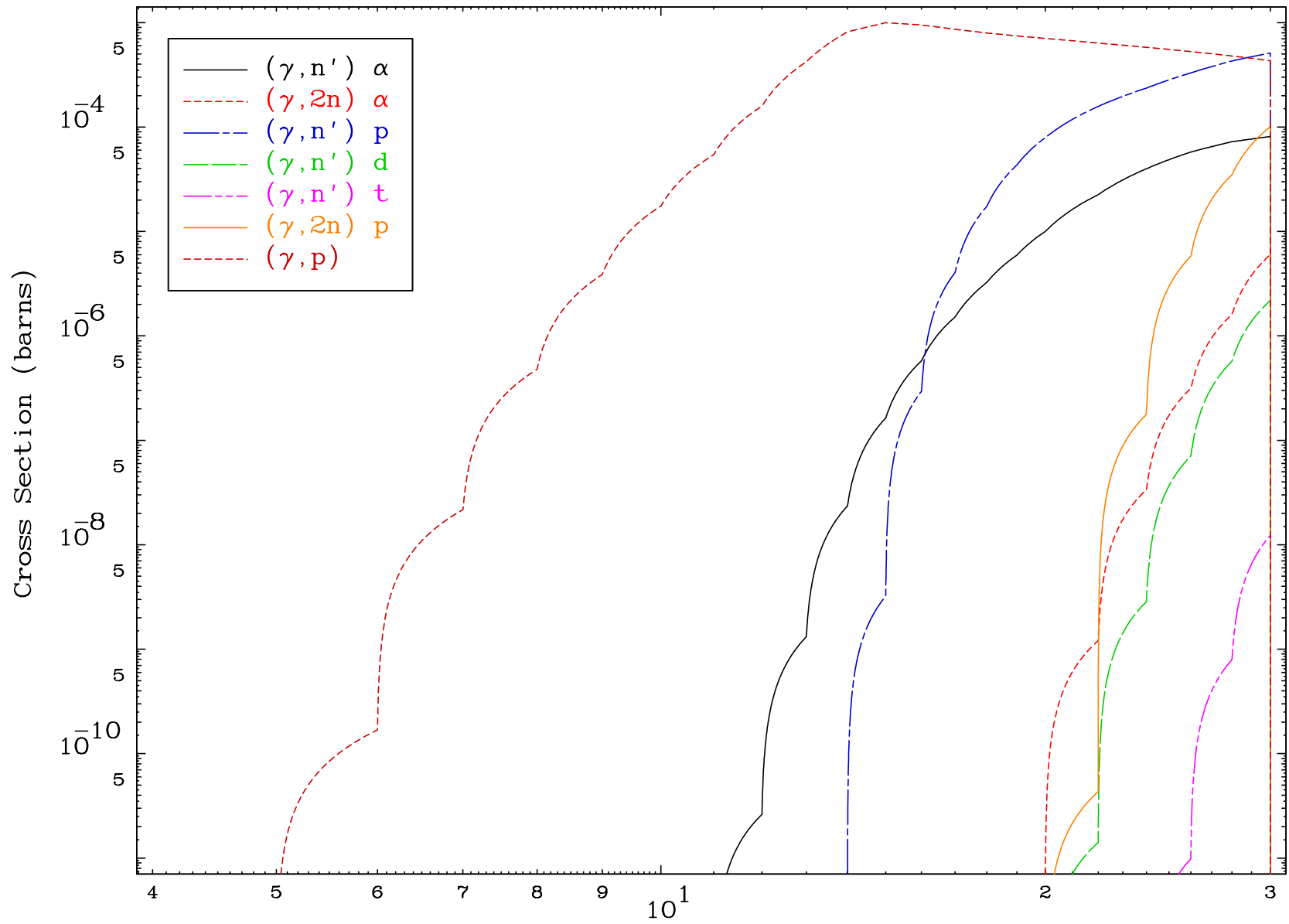


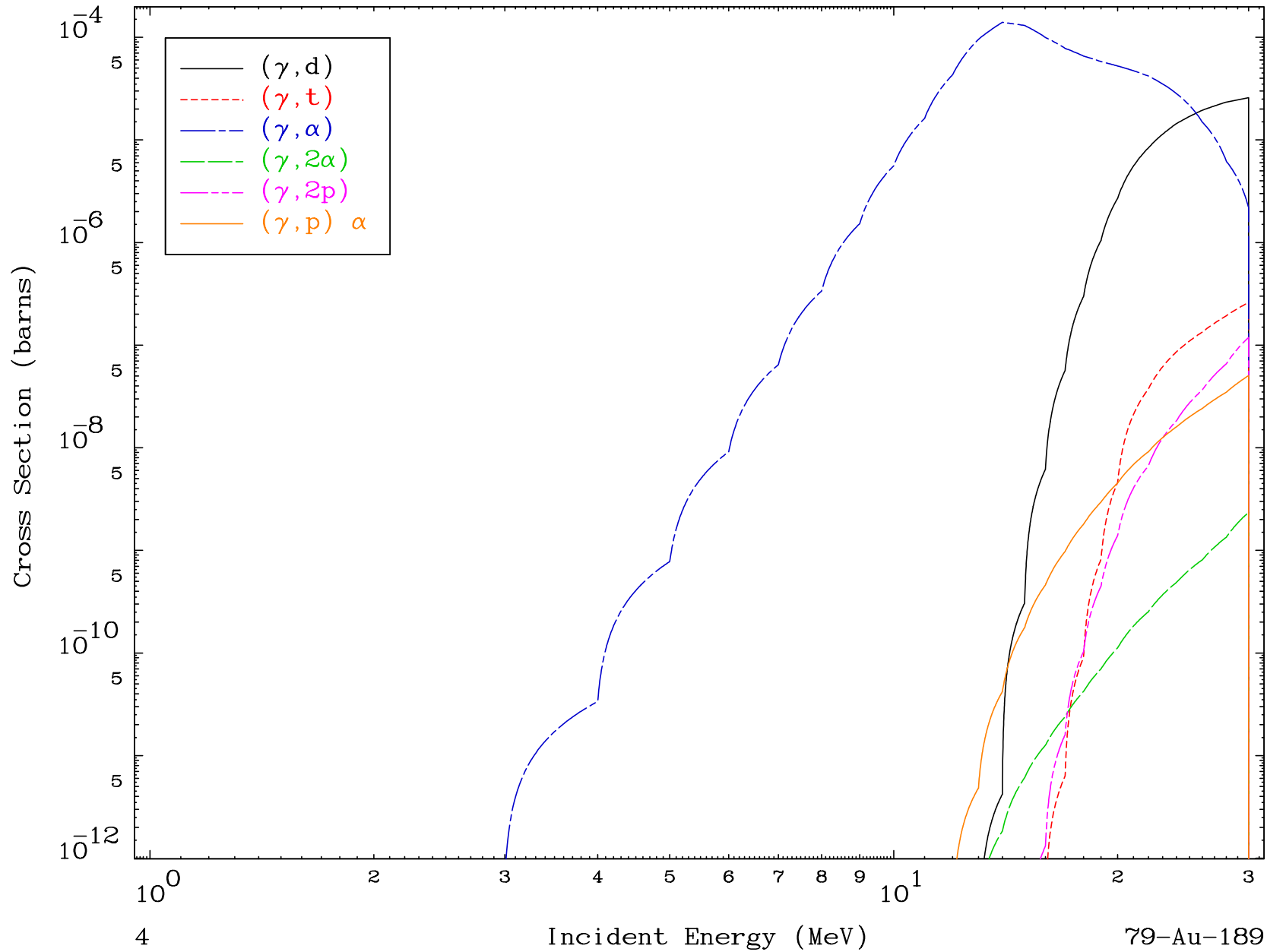
1

Incident Energy (MeV)

79-Au-189



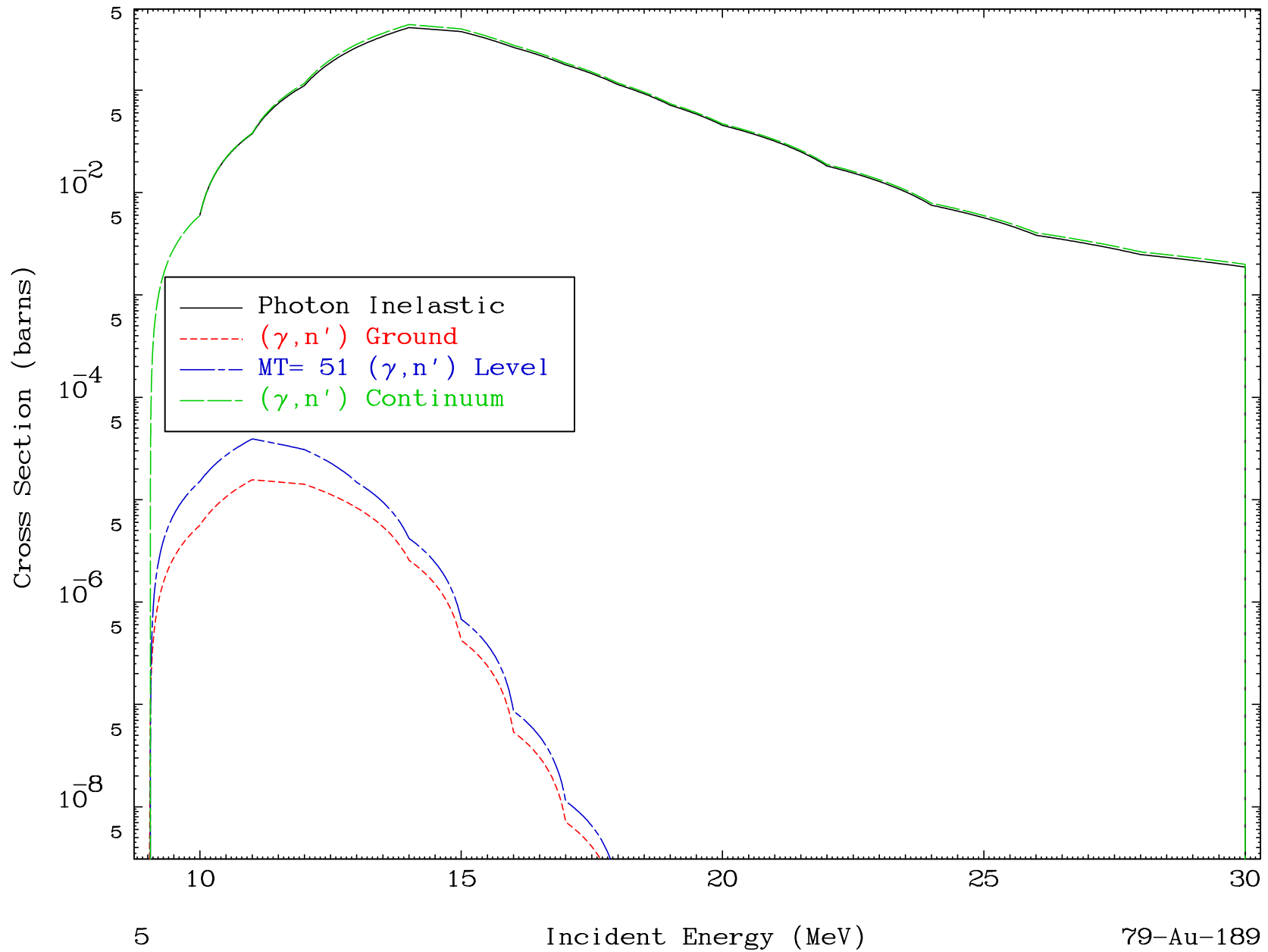




MAT 7902

(γ, n') Level
0 Kelvin Cross Sections

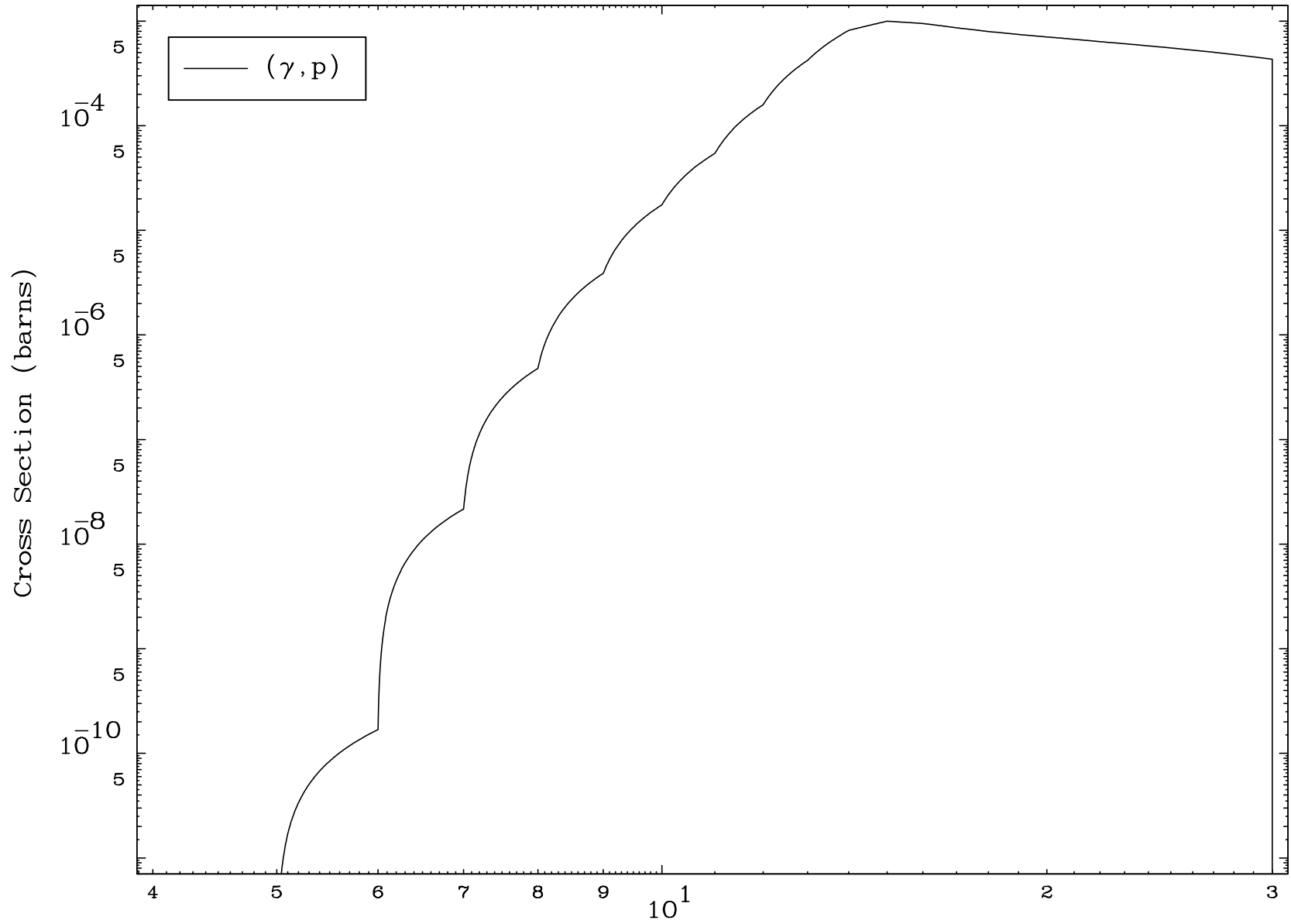
79-Au-189



MAT 7902

(γ ,p) Levels
0 Kelvin Cross Sections

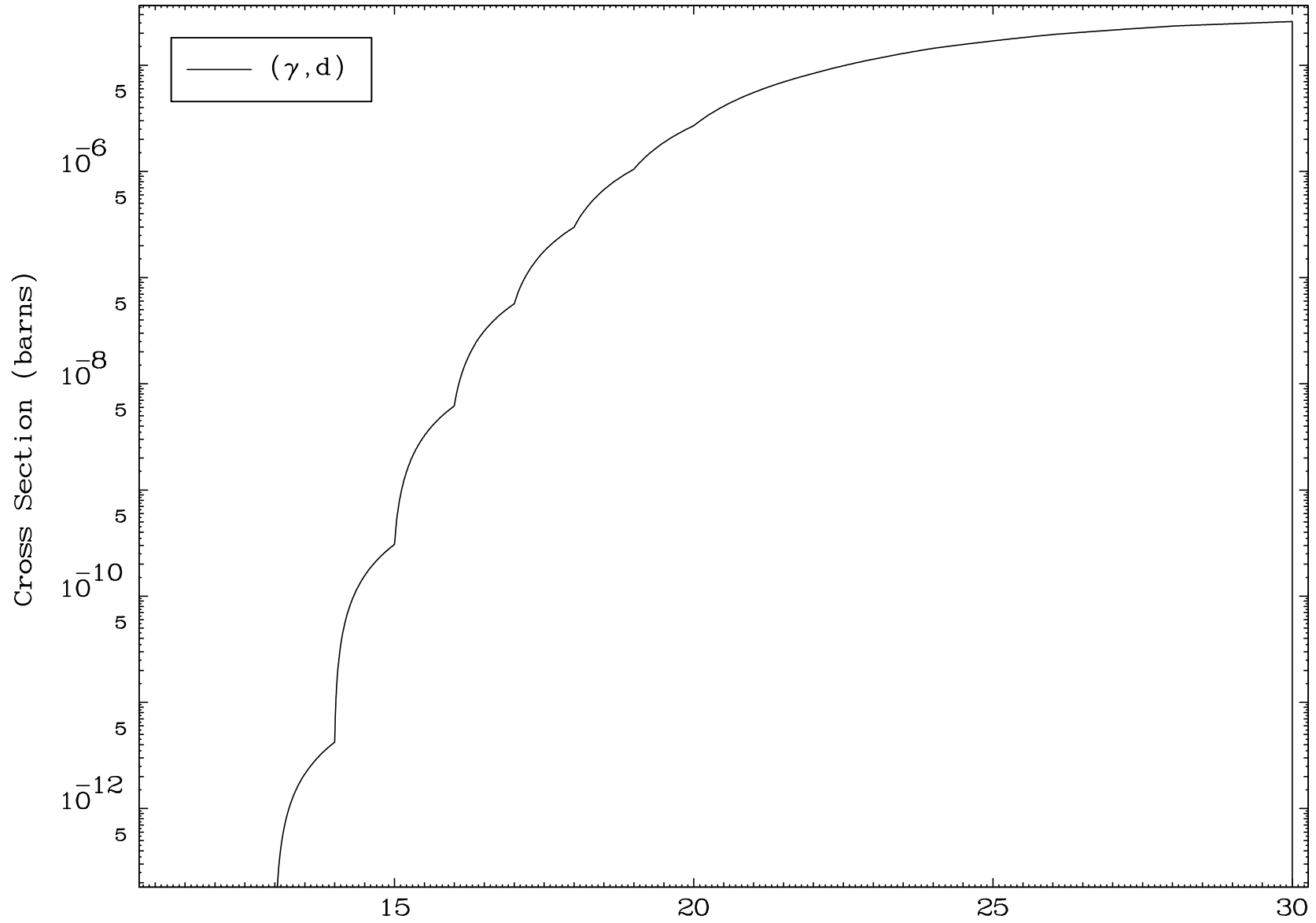
79-Au-189

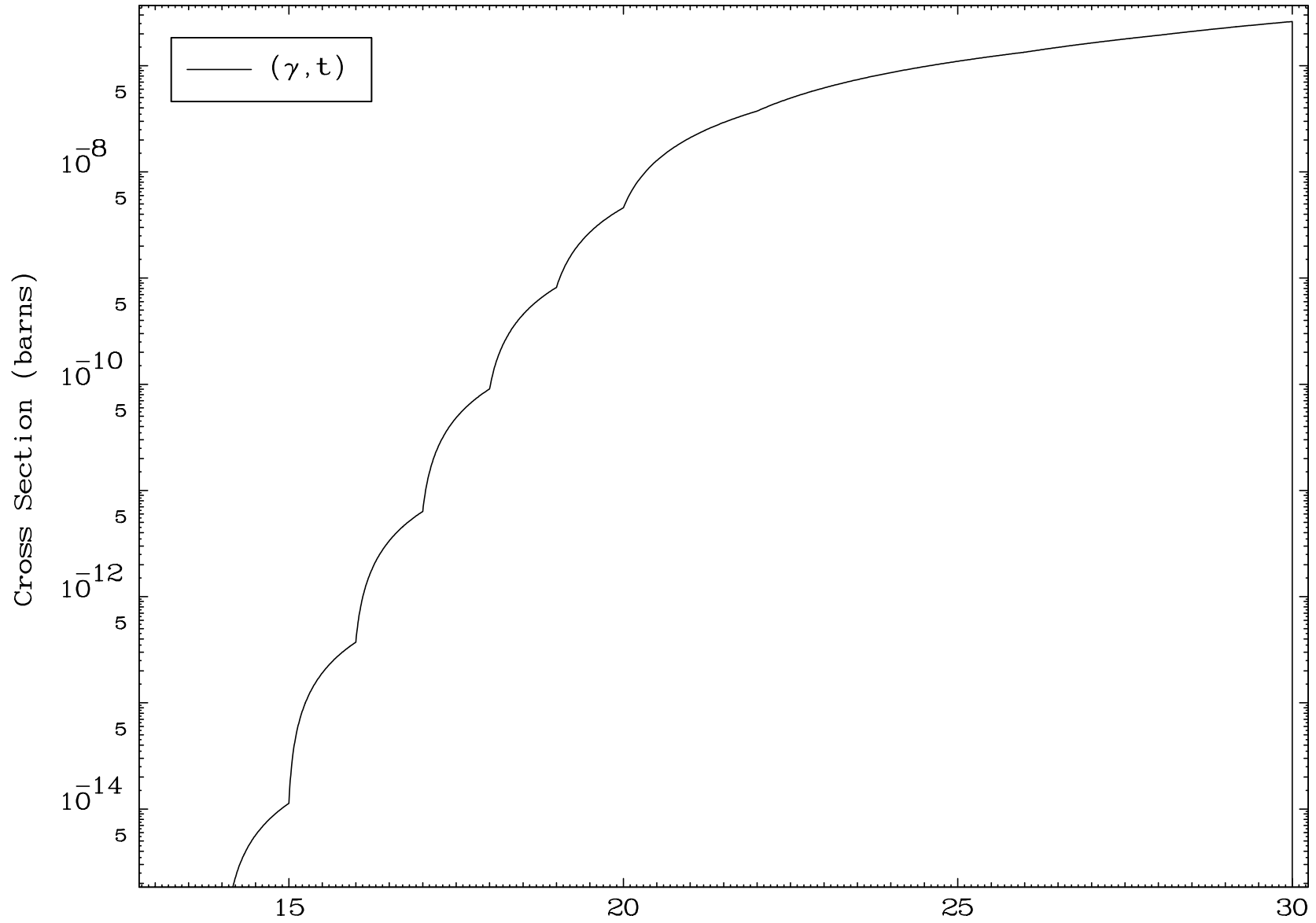


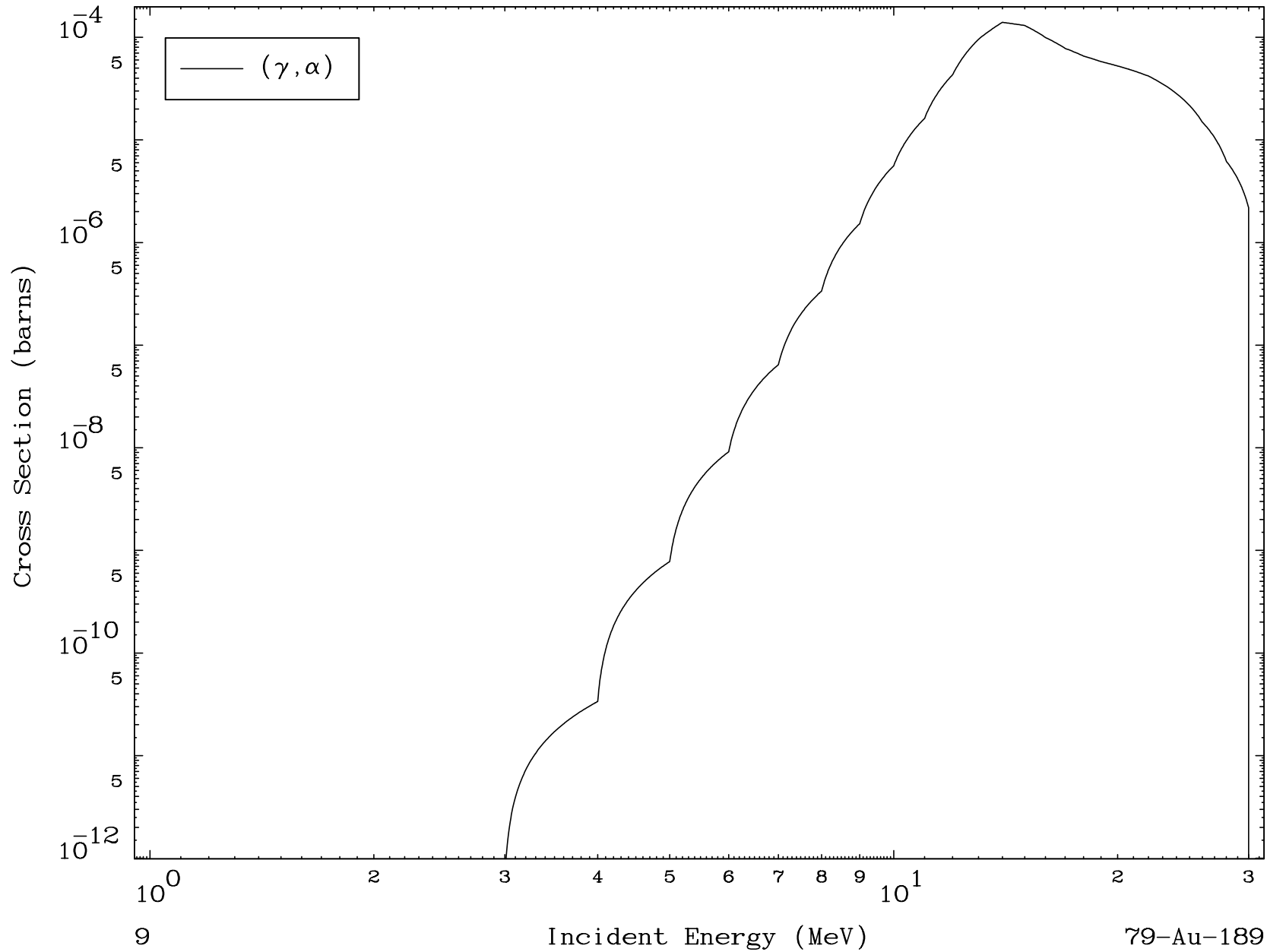
6

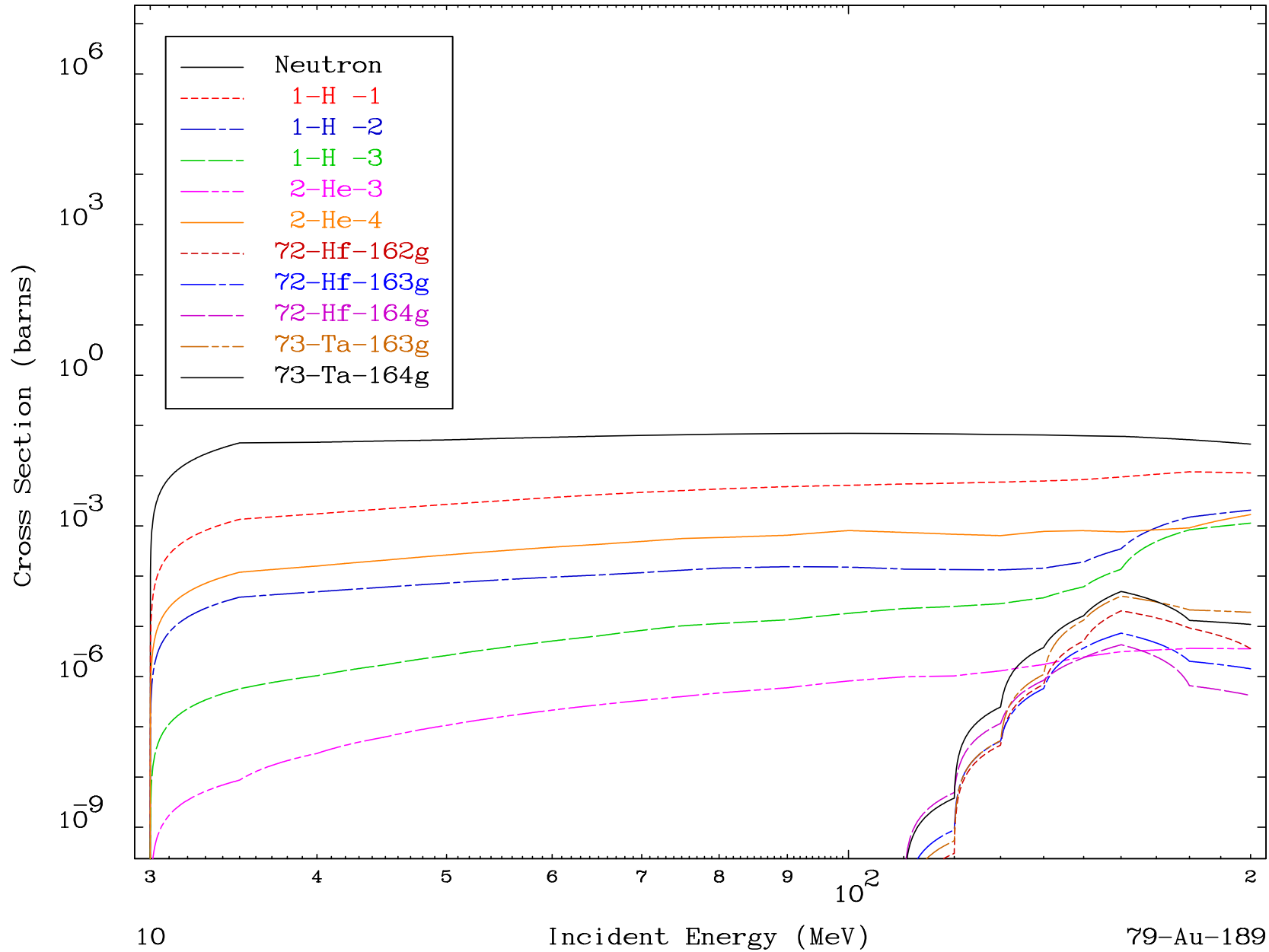
Incident Energy (MeV)

79-Au-189

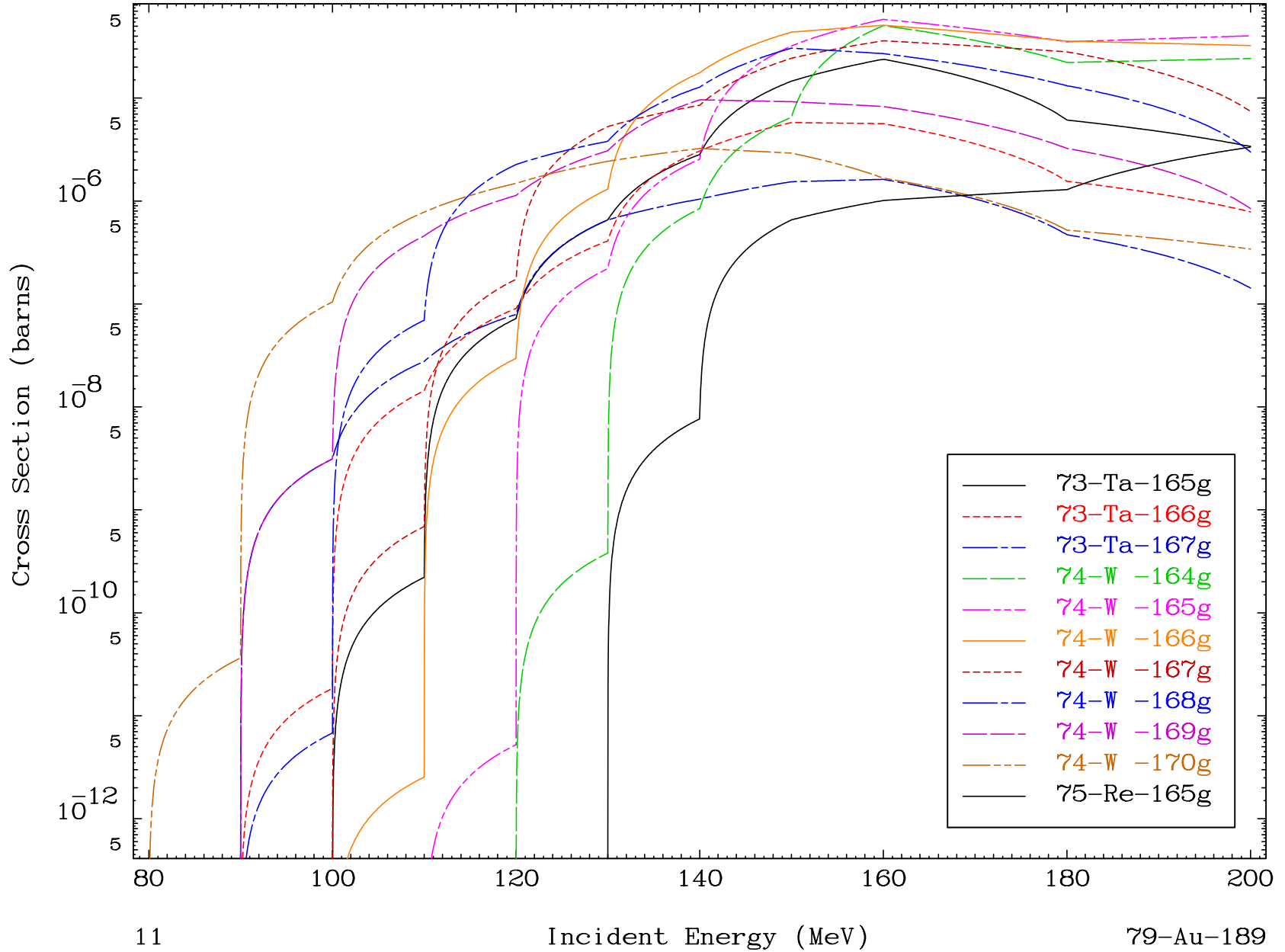








Radionuclide Production Cross Section

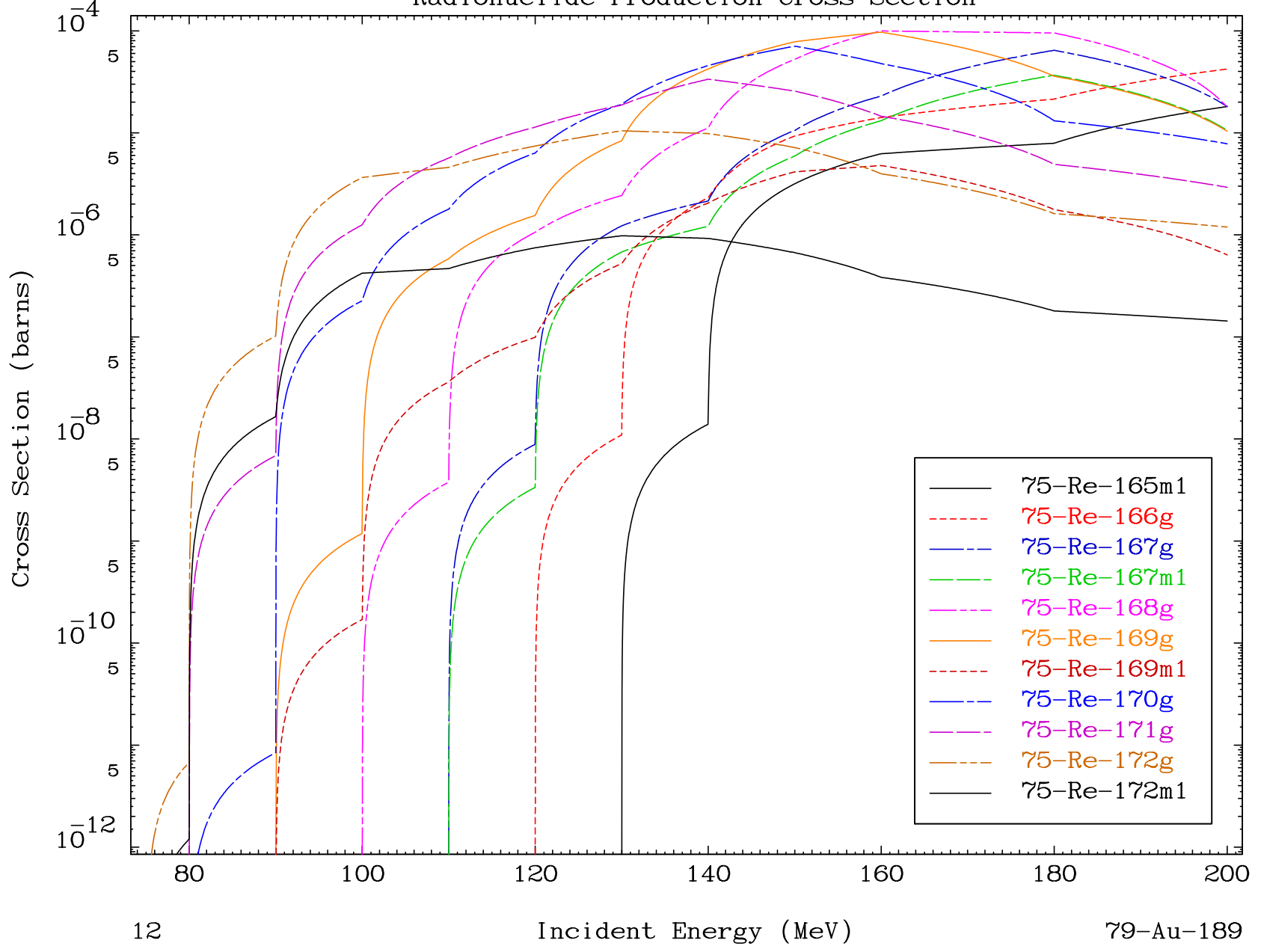


MAT 7902

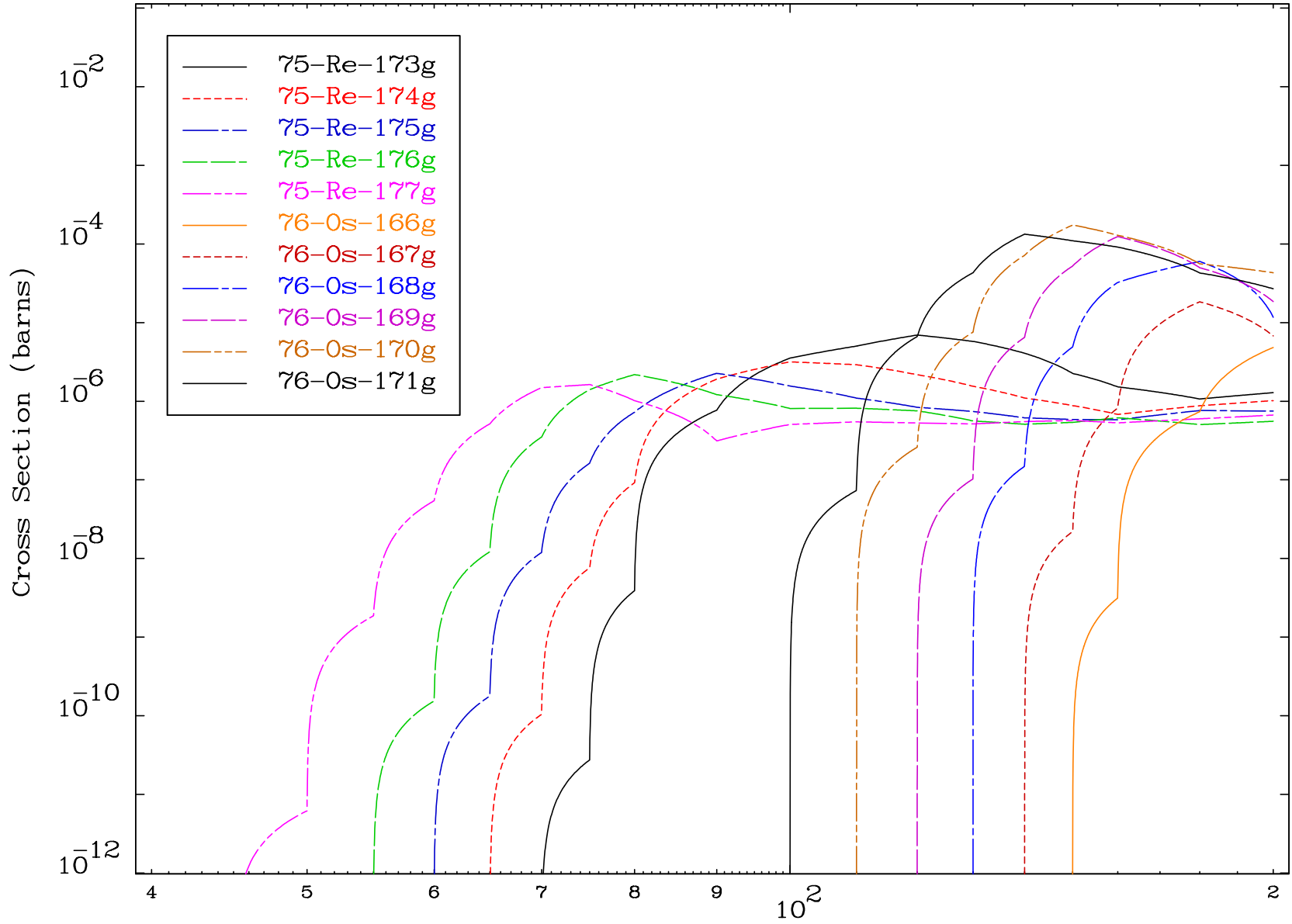
(γ , remainder)

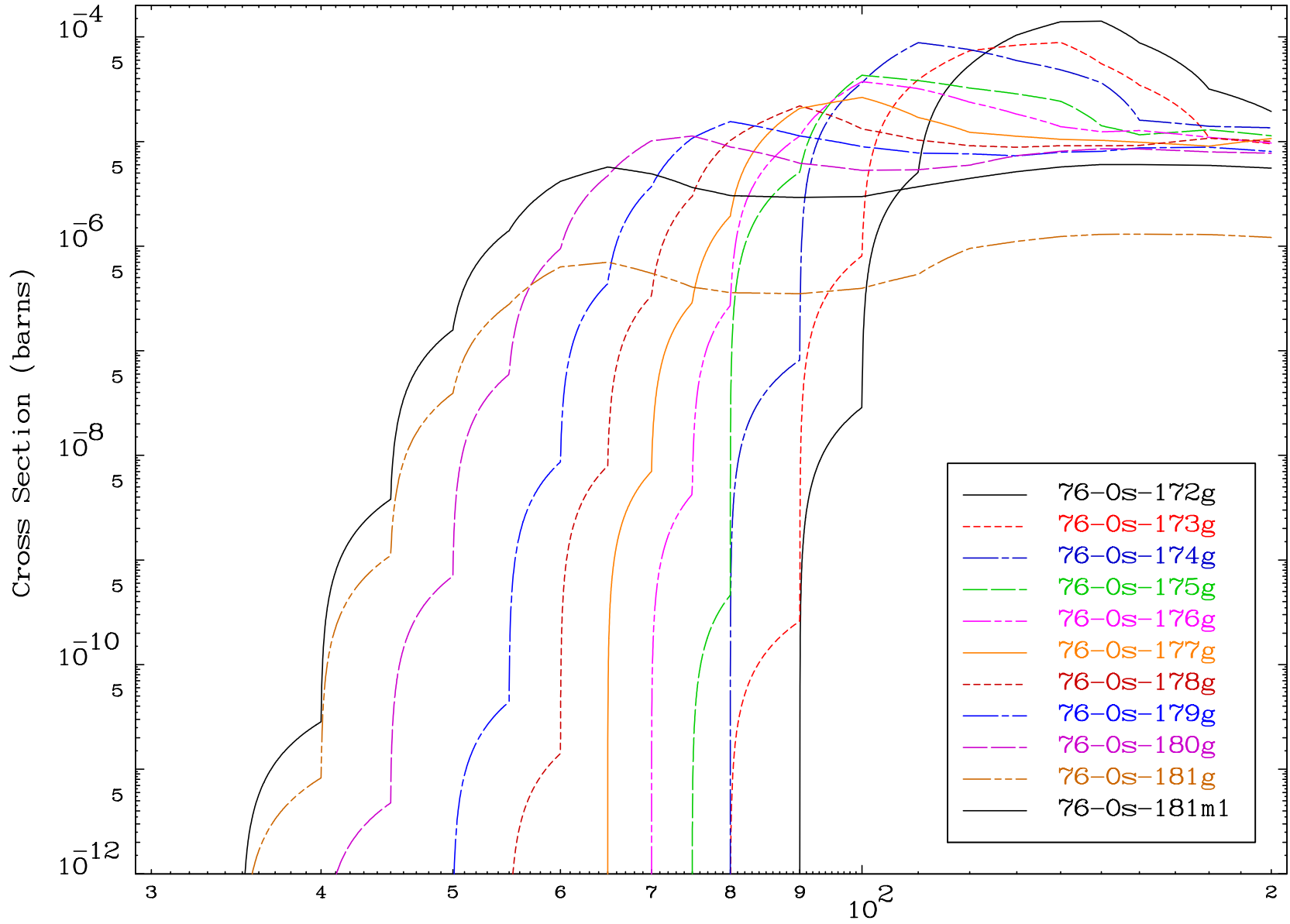
79-Au-189

Radionuclide Production Cross Section

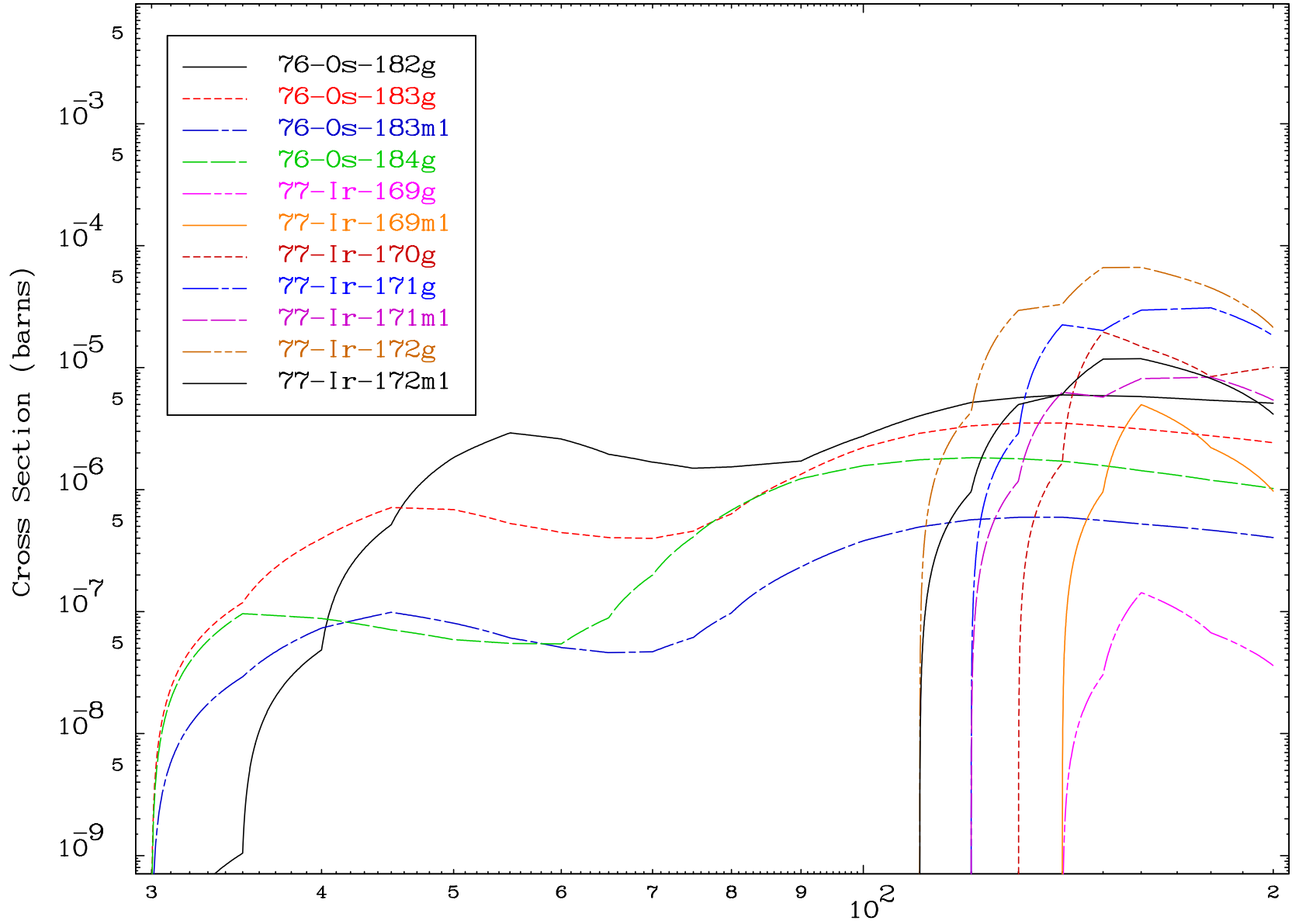


Radionuclide Production Cross Section

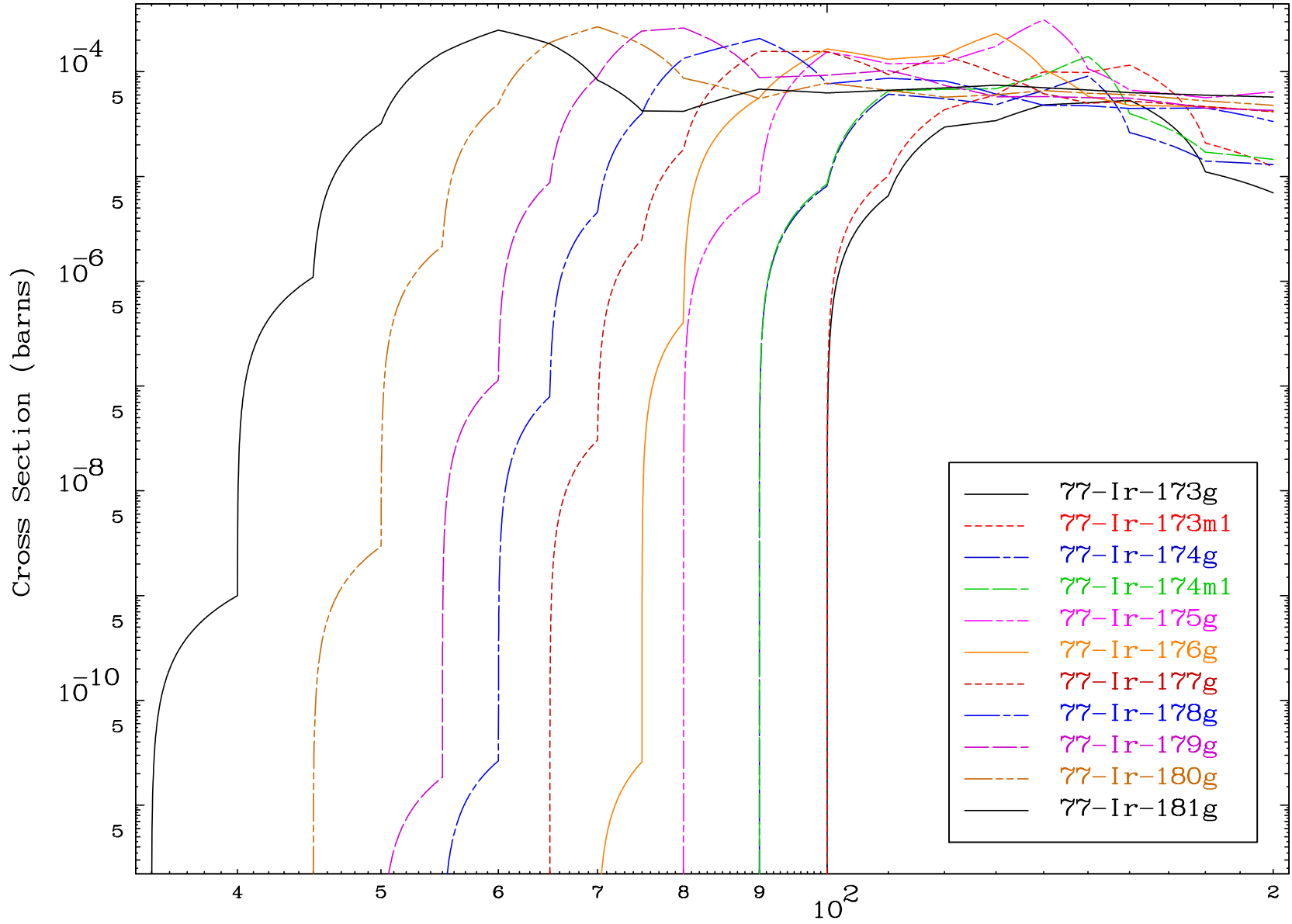




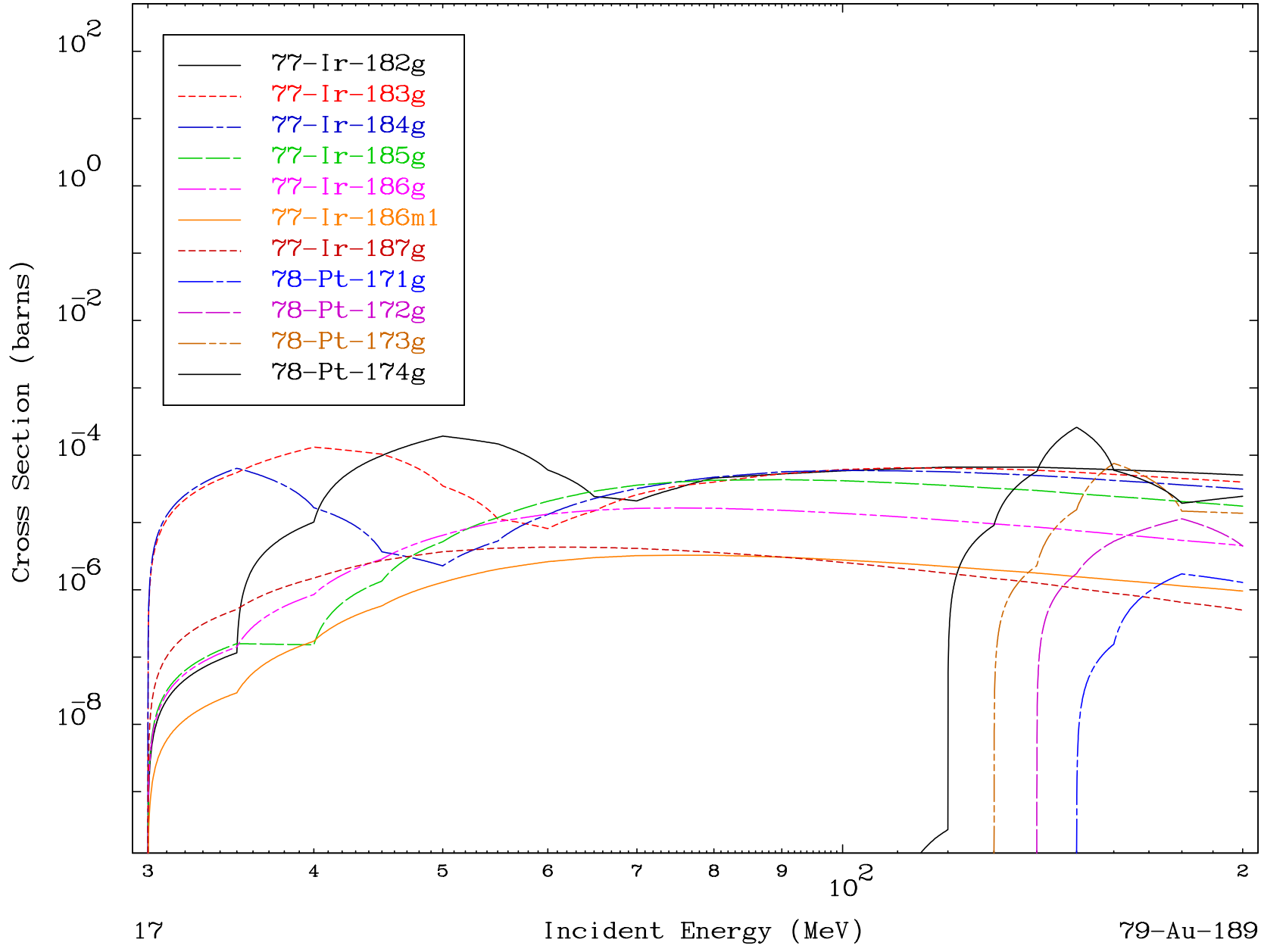
Radionuclide Production Cross Section



Radionuclide Production Cross Section



Radionuclide Production Cross Section

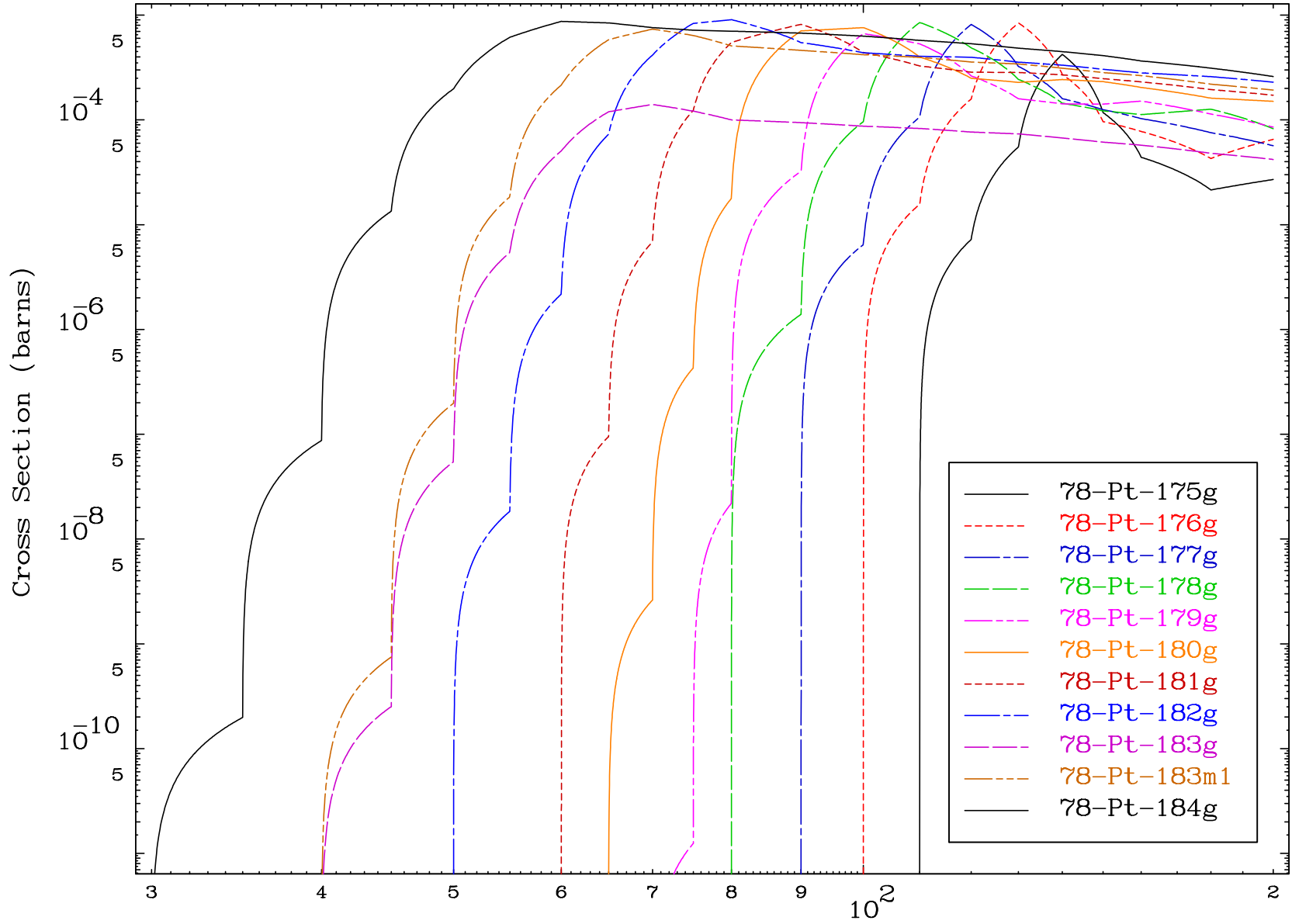


MAT 7902

(γ , remainder)

79-Au-189

Radionuclide Production Cross Section



18

Incident Energy (MeV)

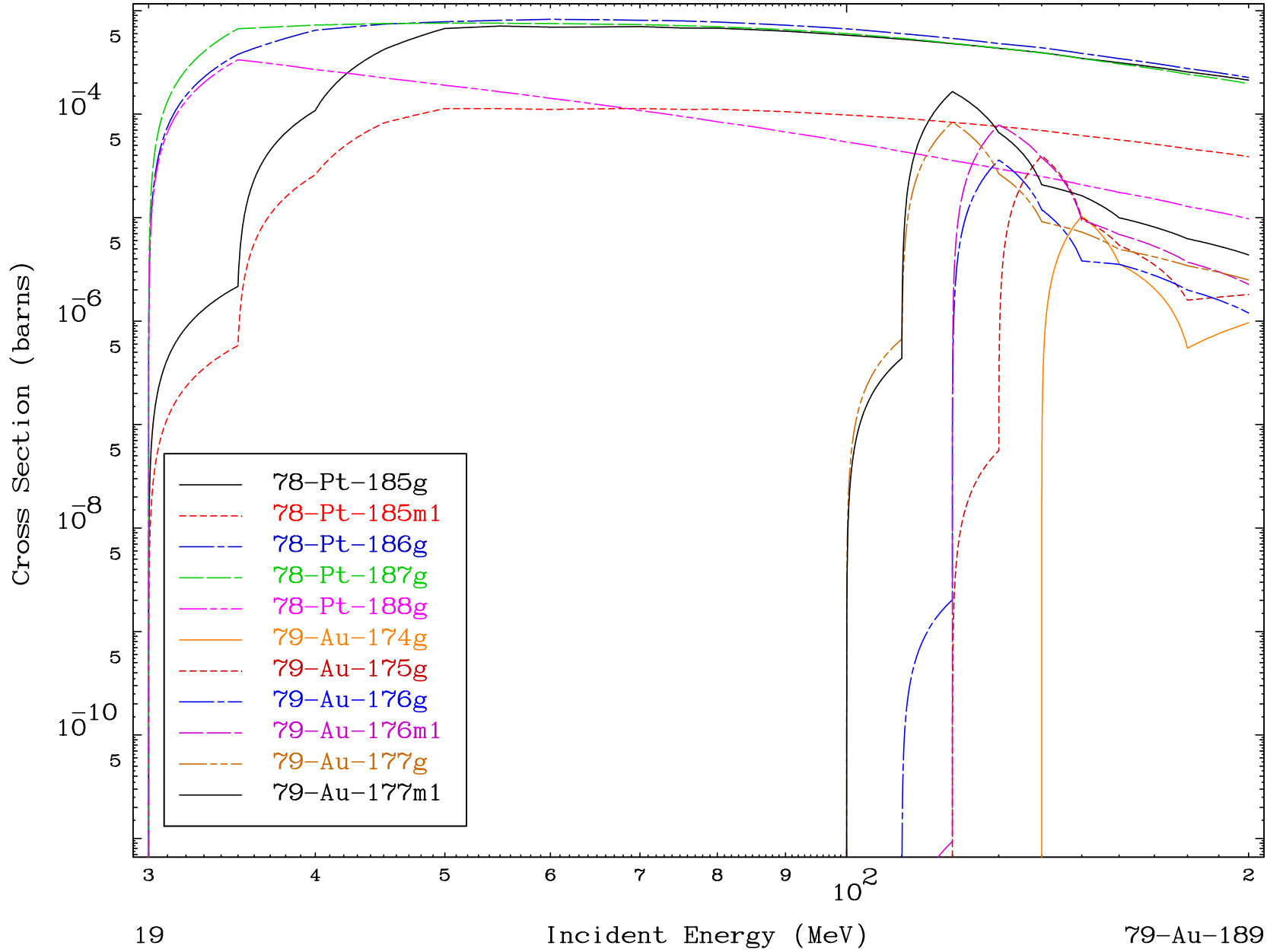
79-Au-189

MAT 7902

(γ , remainder)

79-Au-189

Radionuclide Production Cross Section

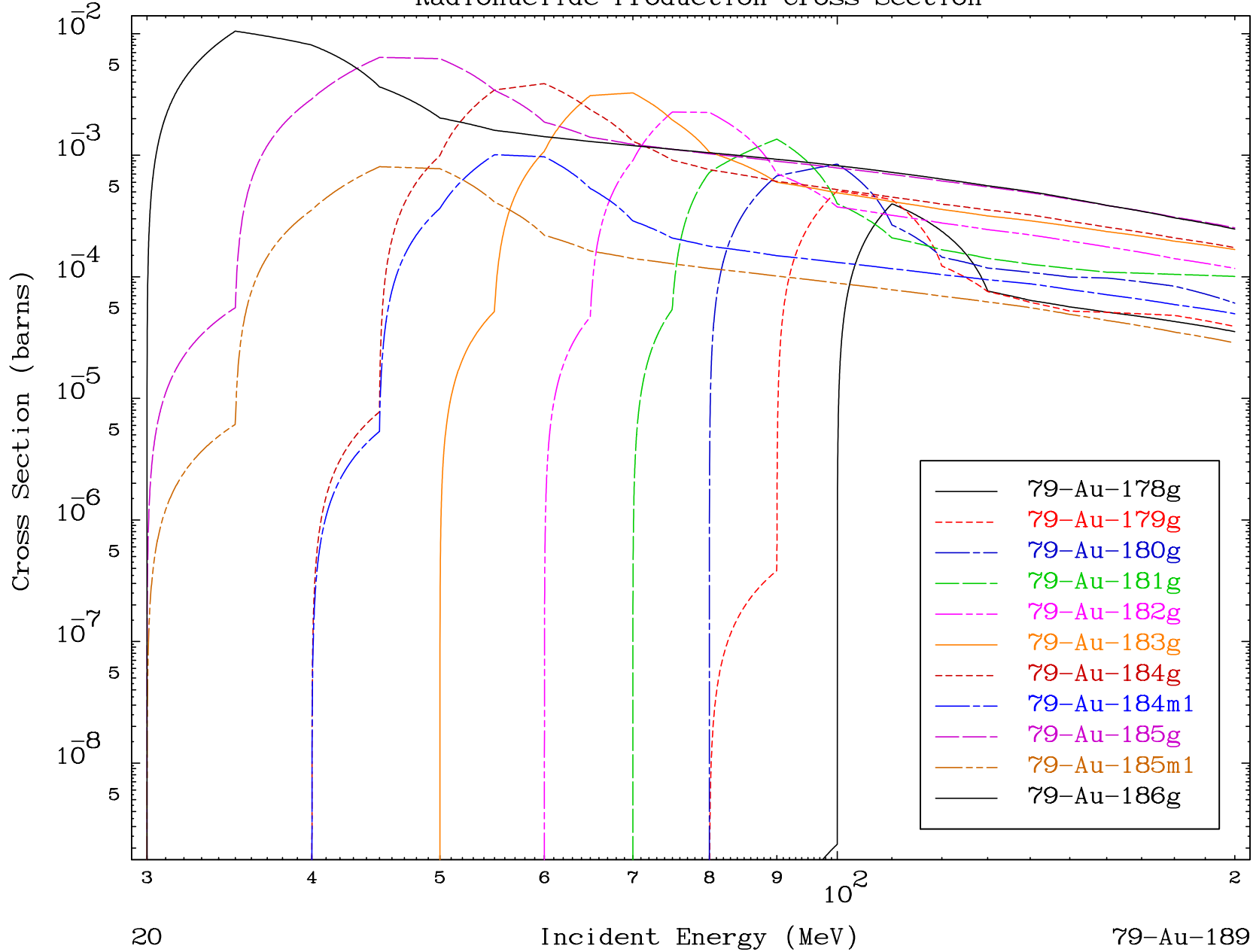


MAT 7902

(γ , remainder)

79-Au-189

Radionuclide Production Cross Section

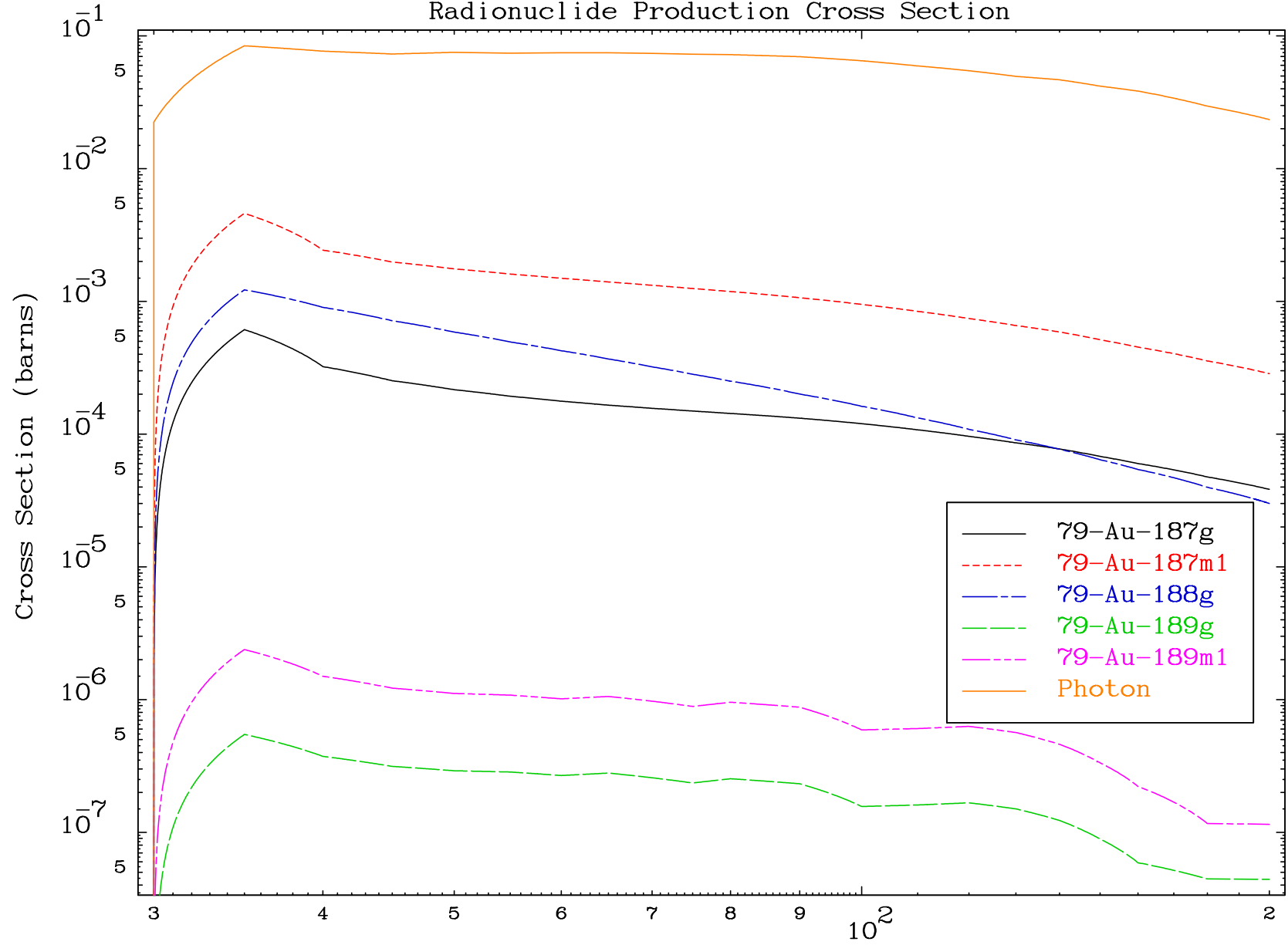


MAT 7902

(γ , remainder)

79-Au-189

Radionuclide Production Cross Section



21

Incident Energy (MeV)

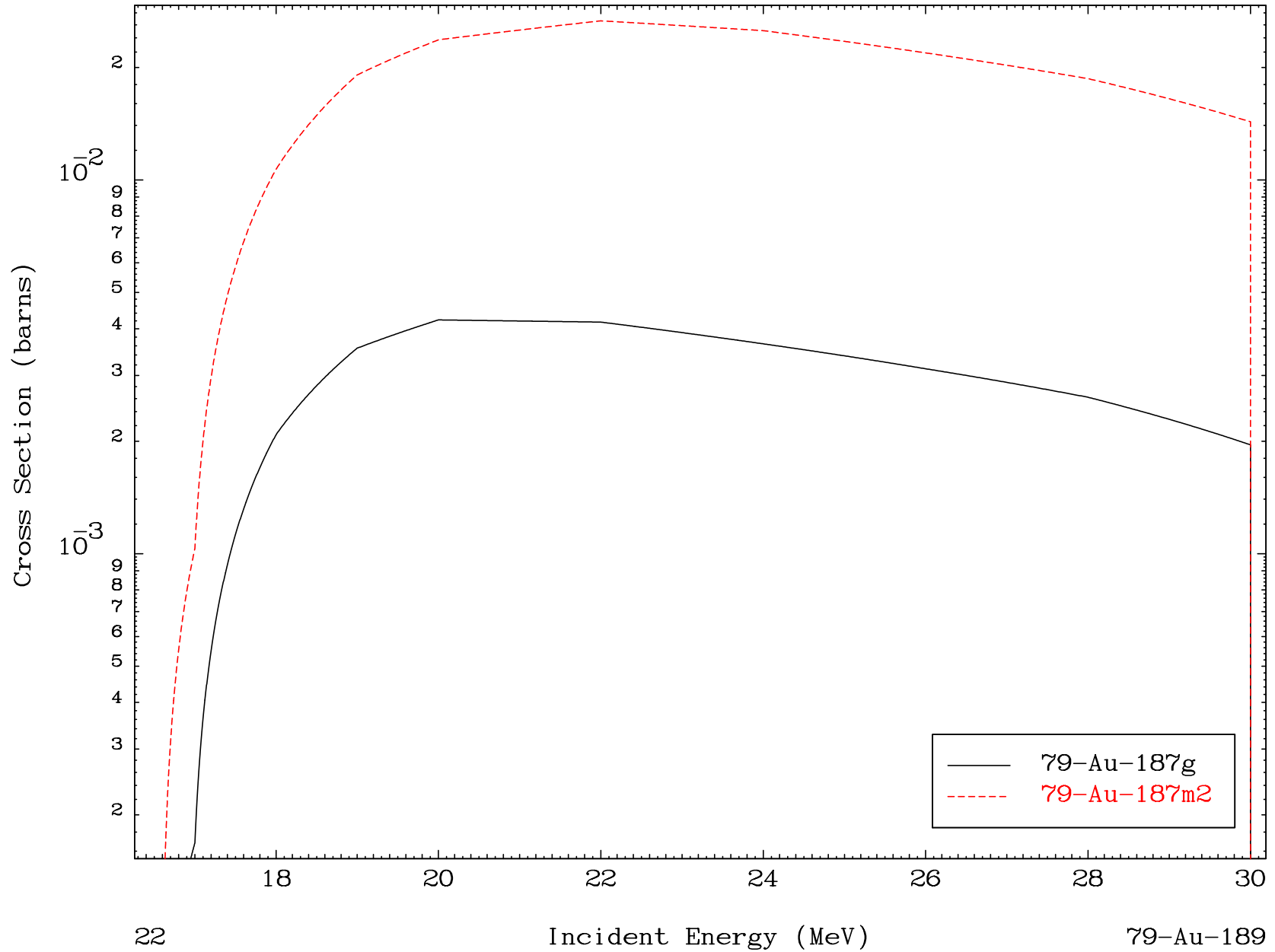
79-Au-189

MAT 7902

($\gamma, 2n$)

79-Au-189

Radionuclide Production Cross Section



22

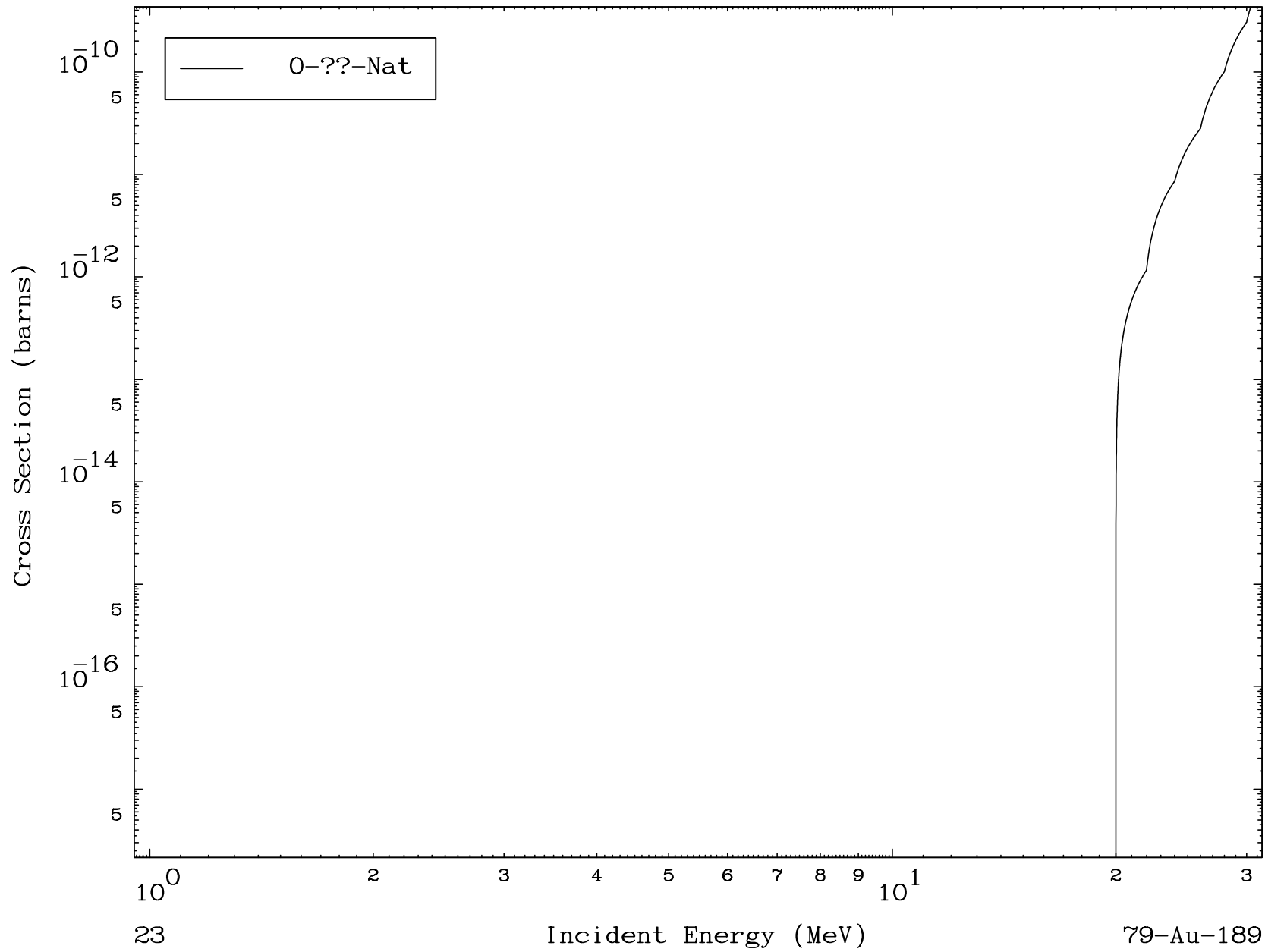
Incident Energy (MeV)

79-Au-189

MAT 7902

Photon Fission
Radionuclide Production Cross Section

79-Au-189

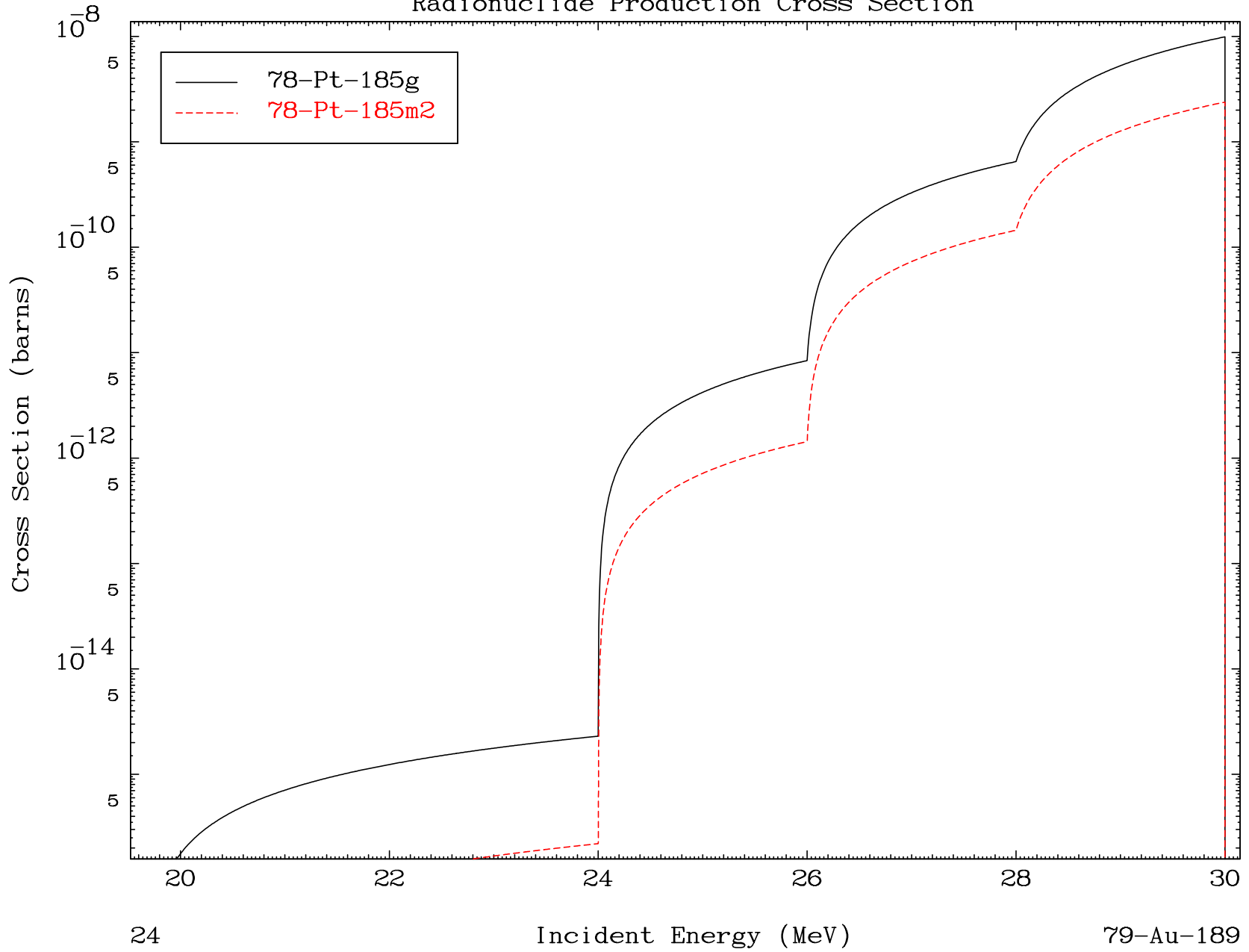


MAT 7902

(γ, n') t

79-Au-189

Radionuclide Production Cross Section

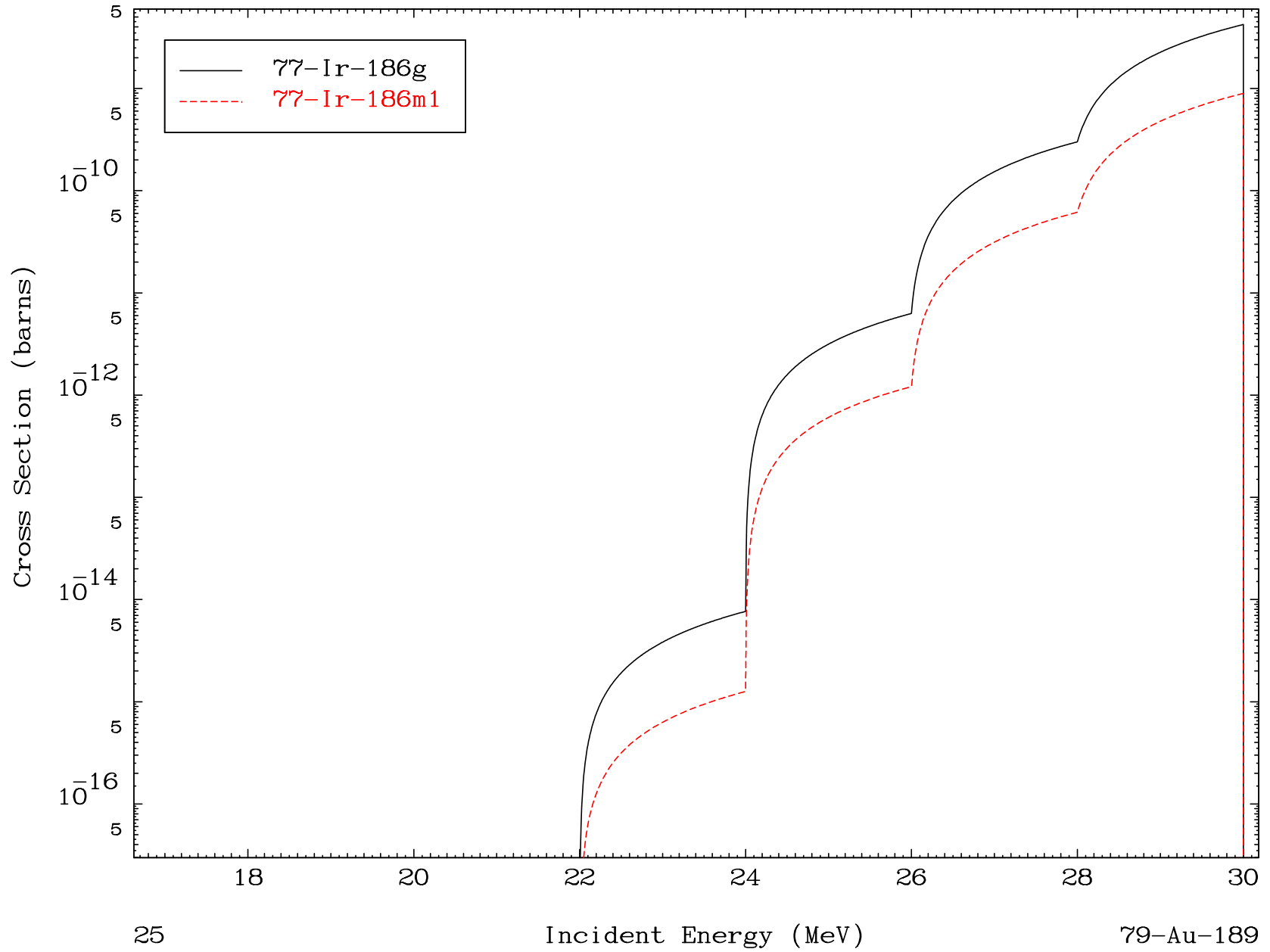


MAT 7902

($\gamma, 2n$) p

79-Au-189

Radionuclide Production Cross Section

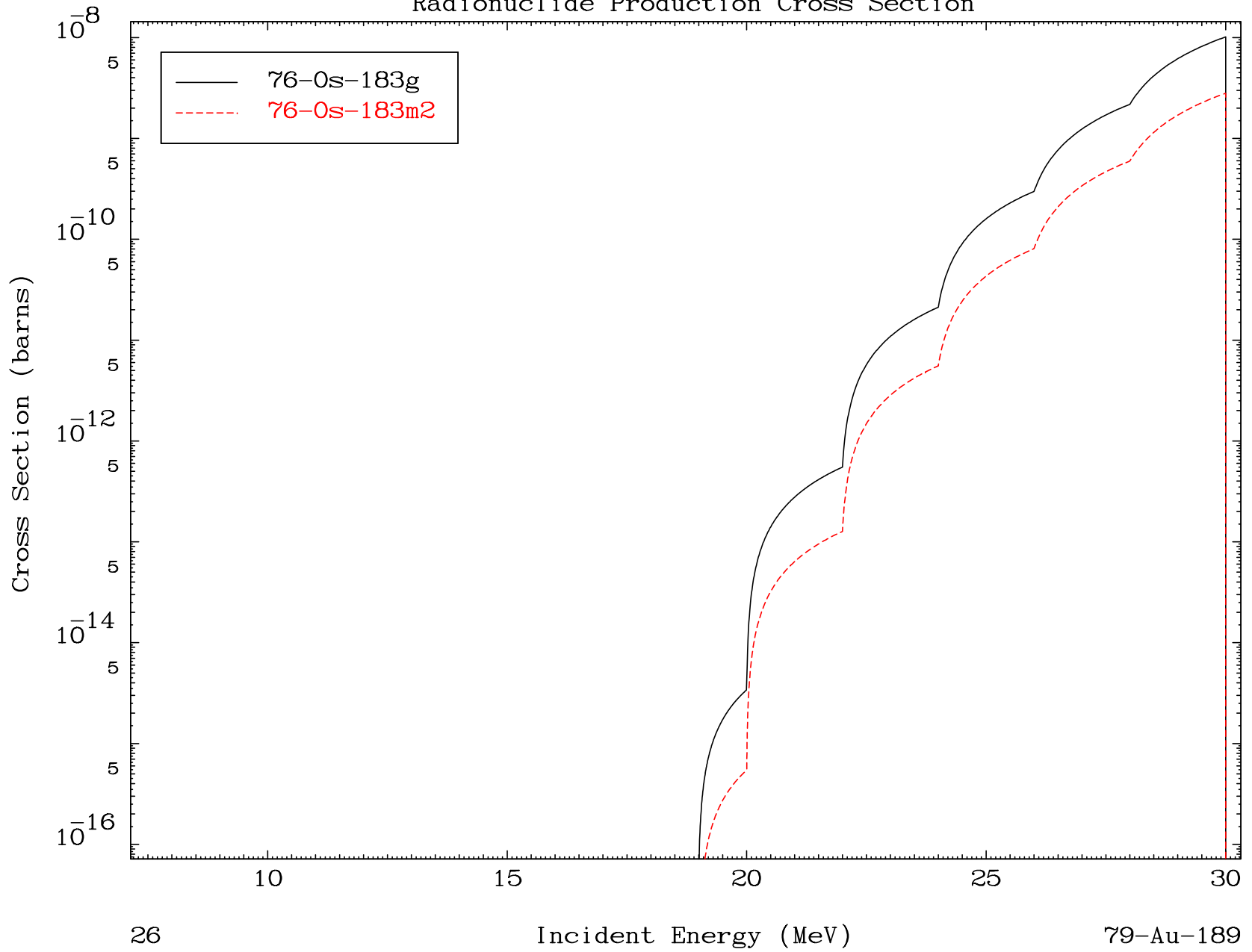


MAT 7902

(γ, n') p α

79-Au-189

Radionuclide Production Cross Section

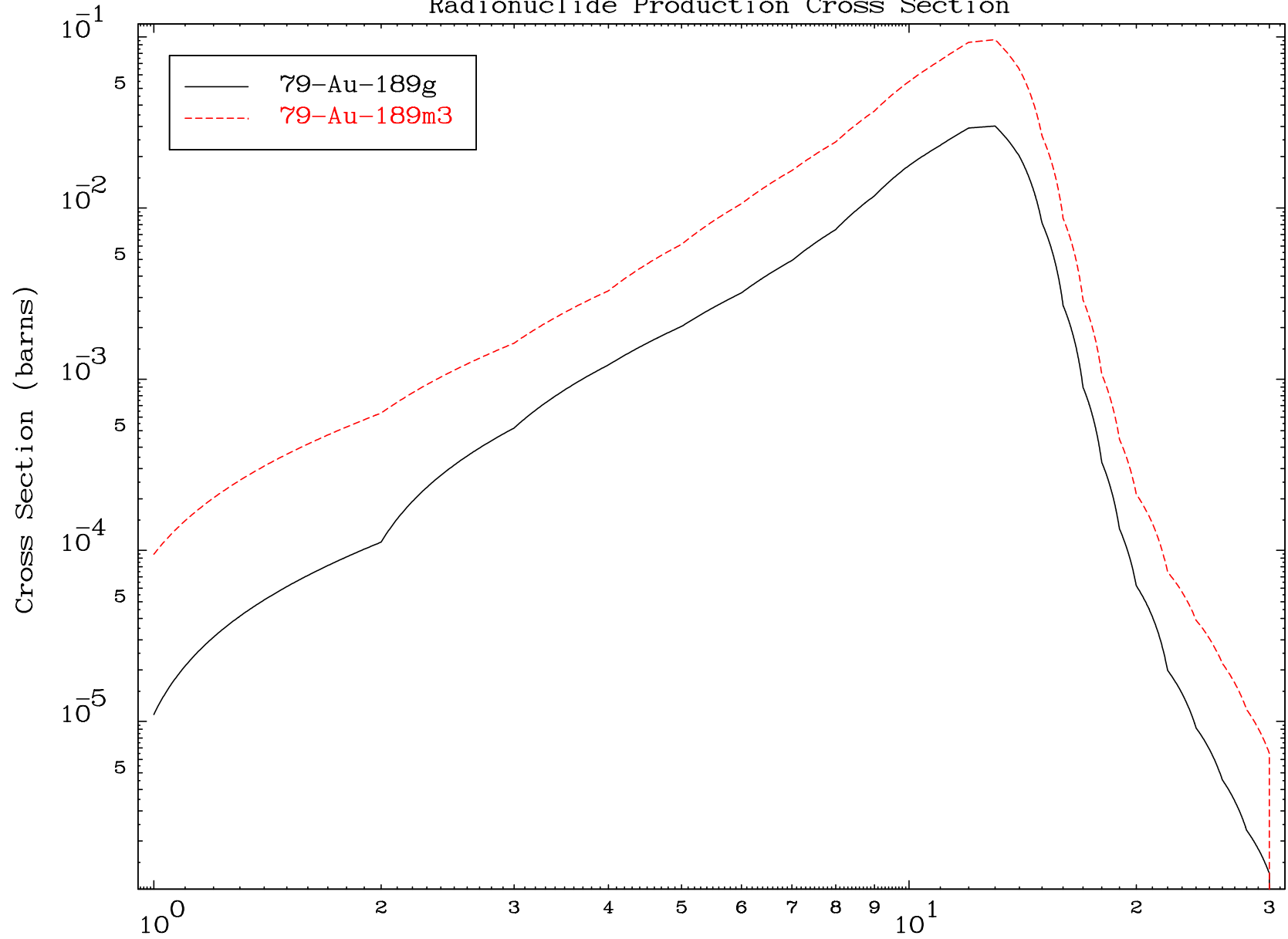


MAT 7902

(γ, γ)

79-Au-189

Radionuclide Production Cross Section



27

Incident Energy (MeV)

79-Au-189